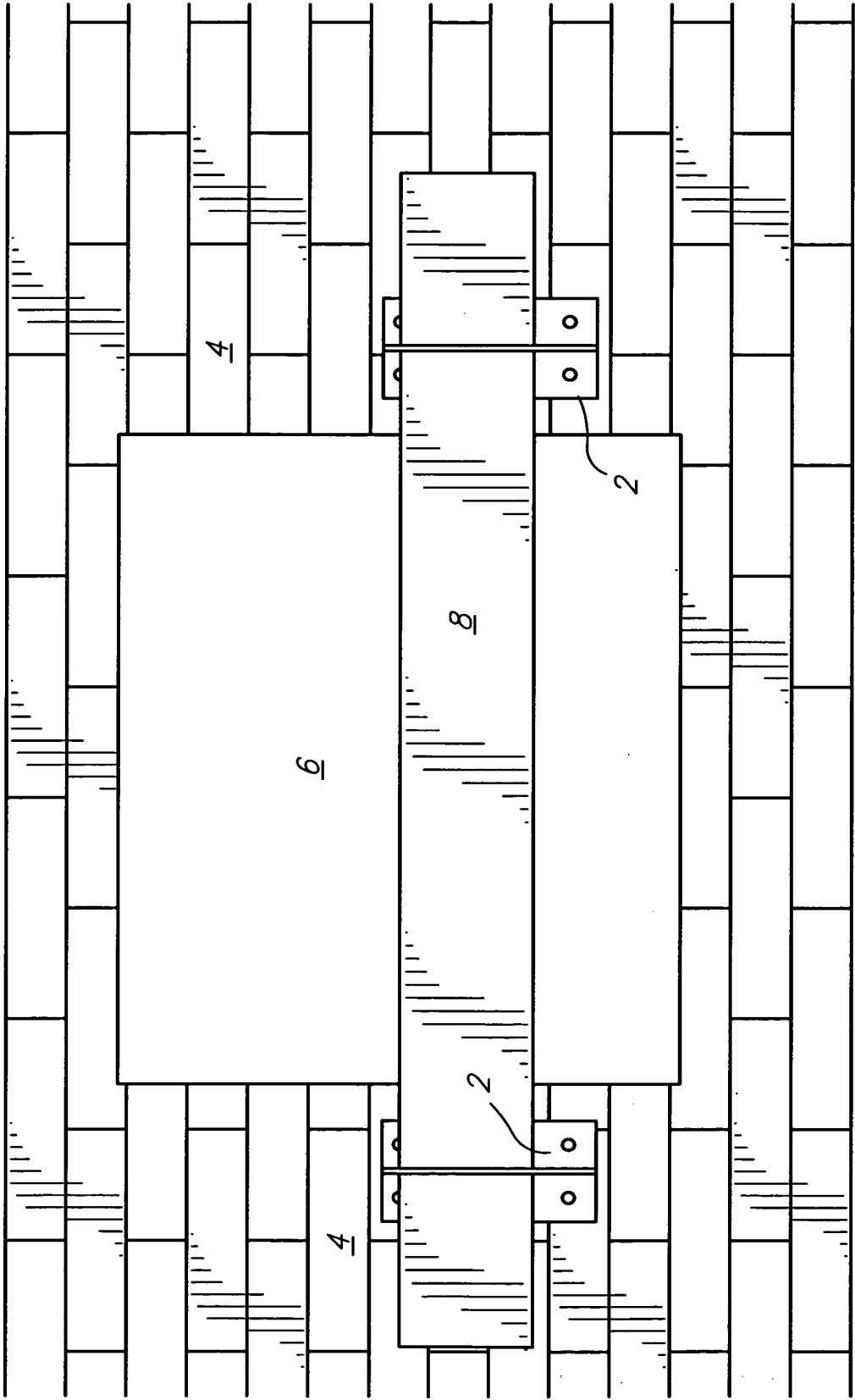
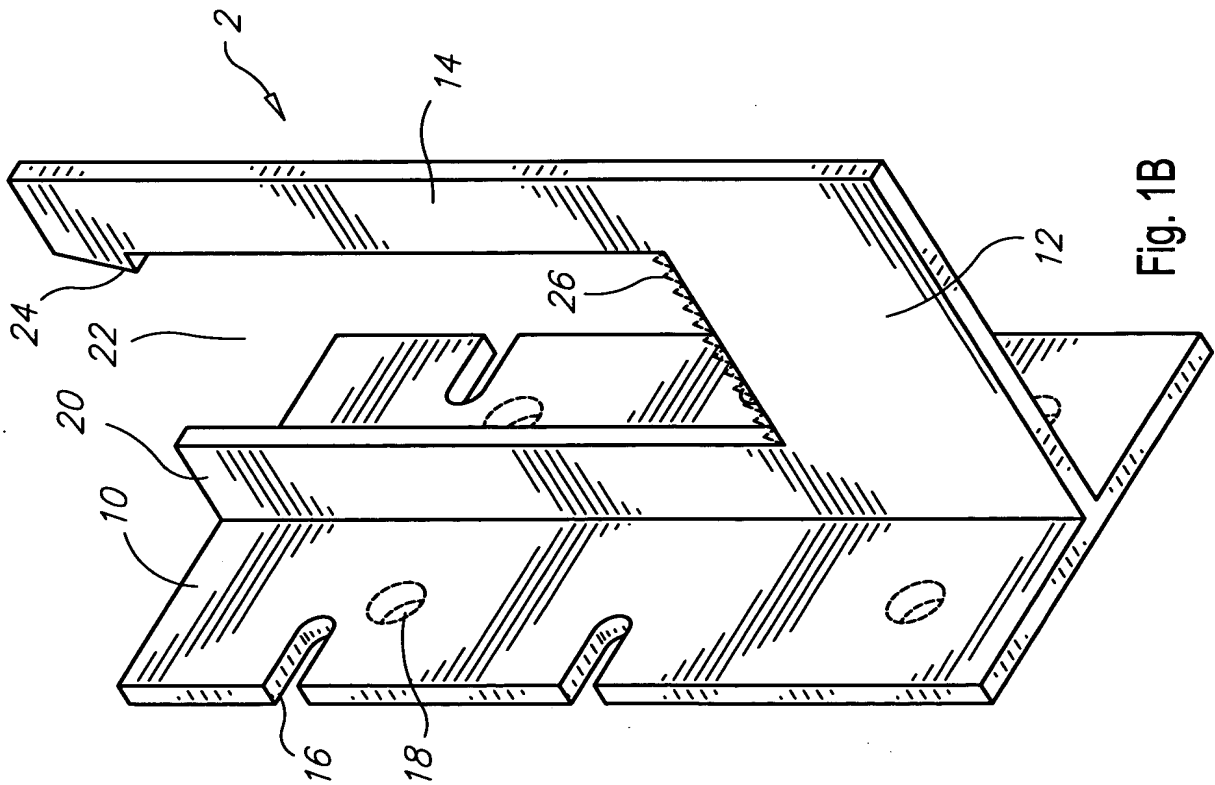
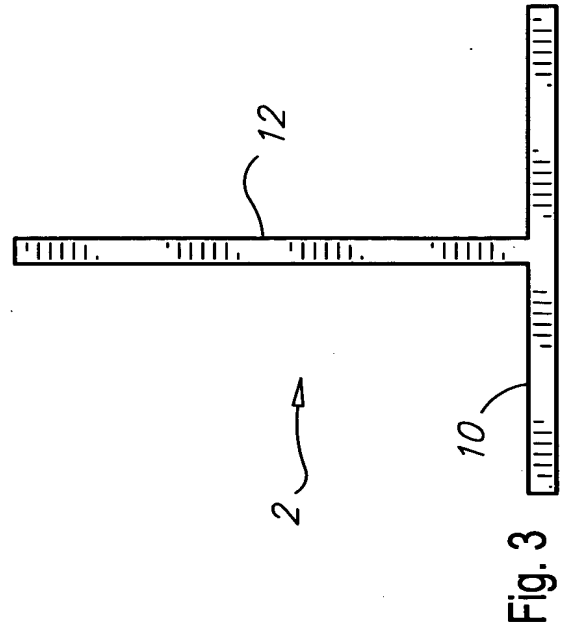
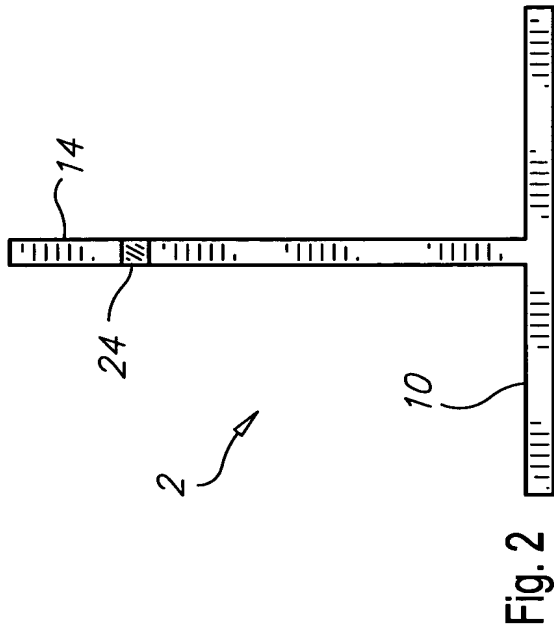


Fig. 1A





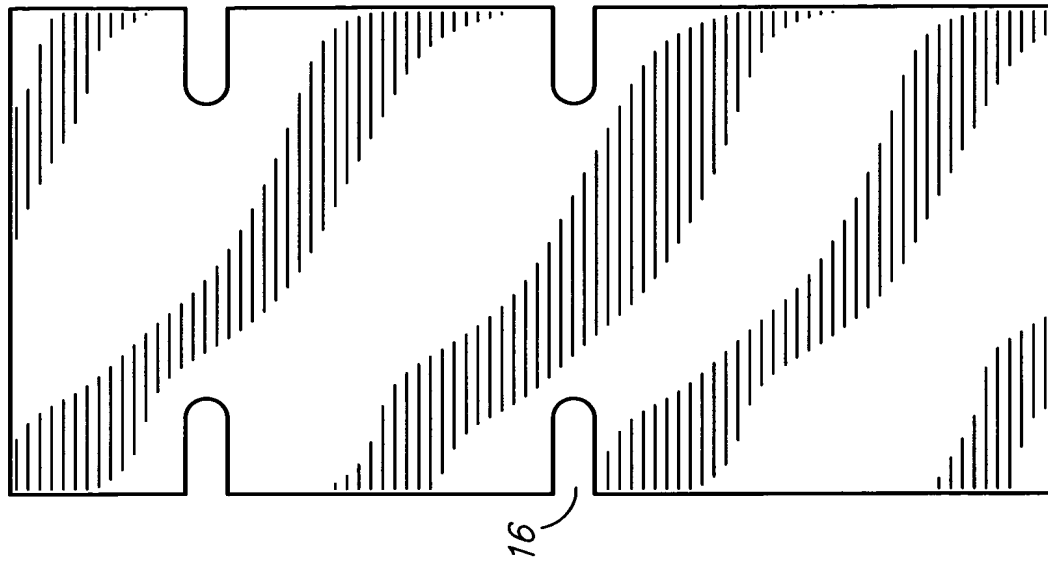


Fig. 6

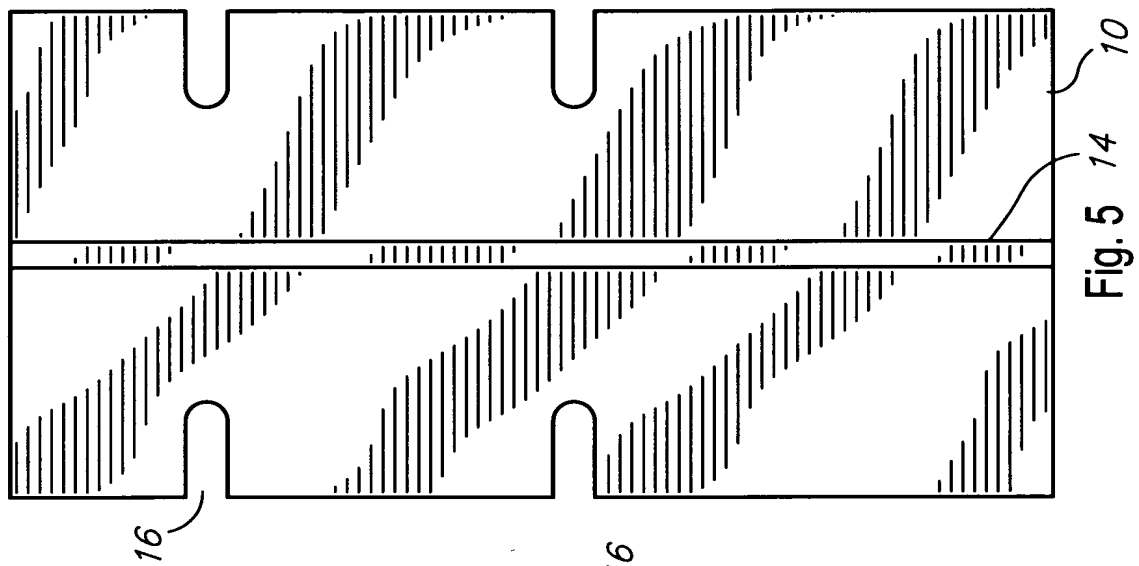


Fig. 5

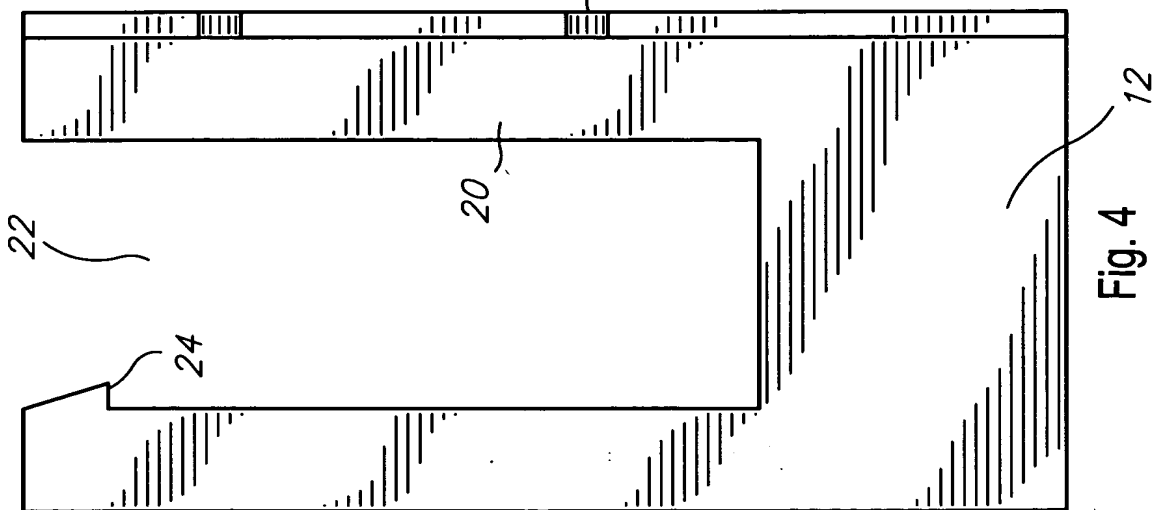
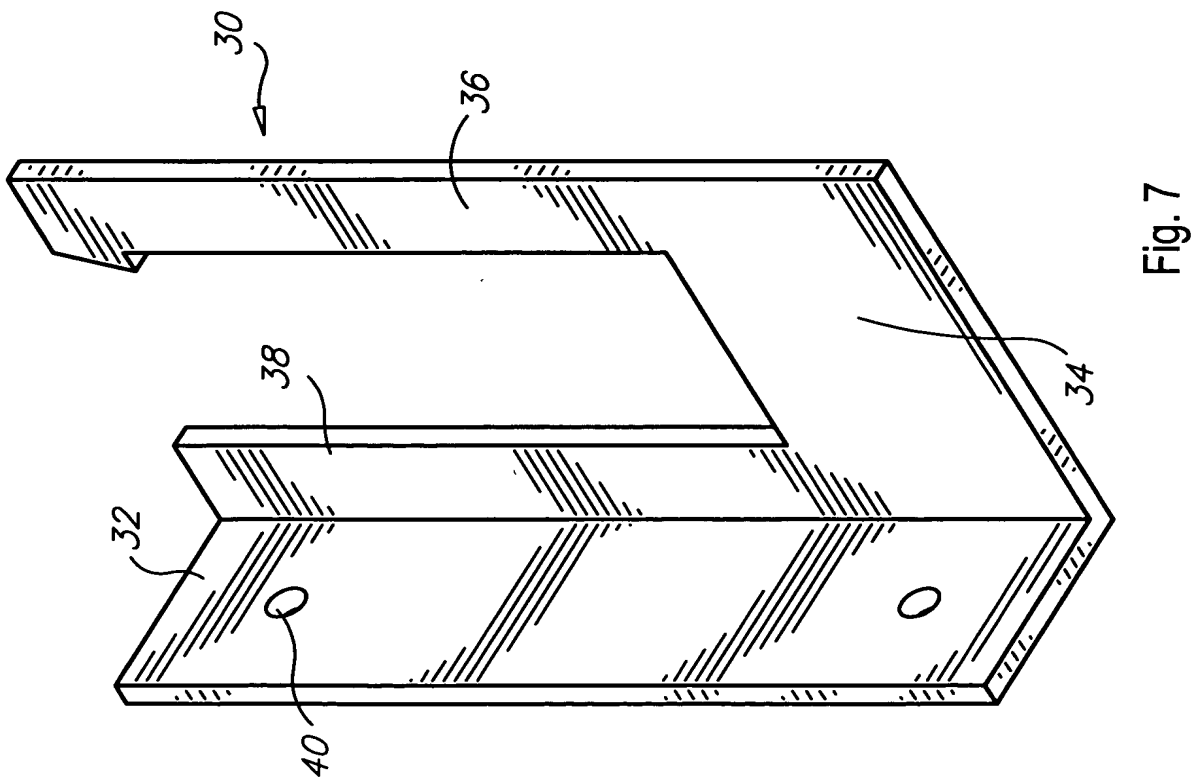
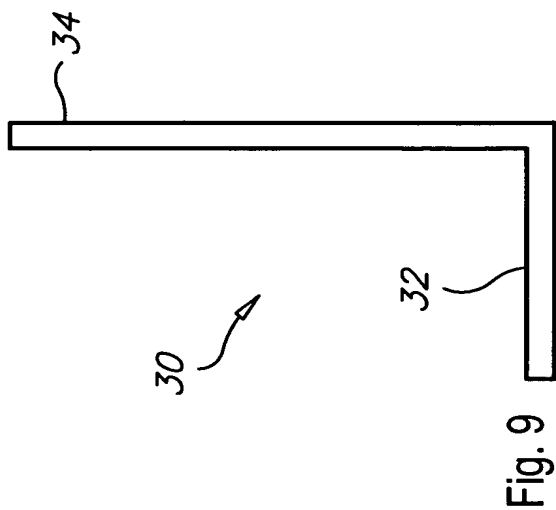
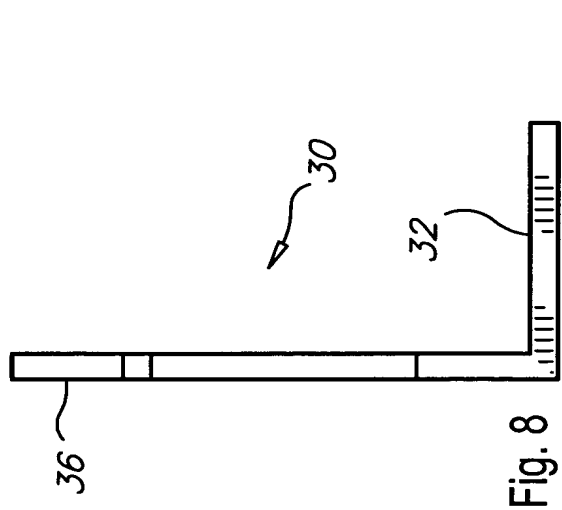
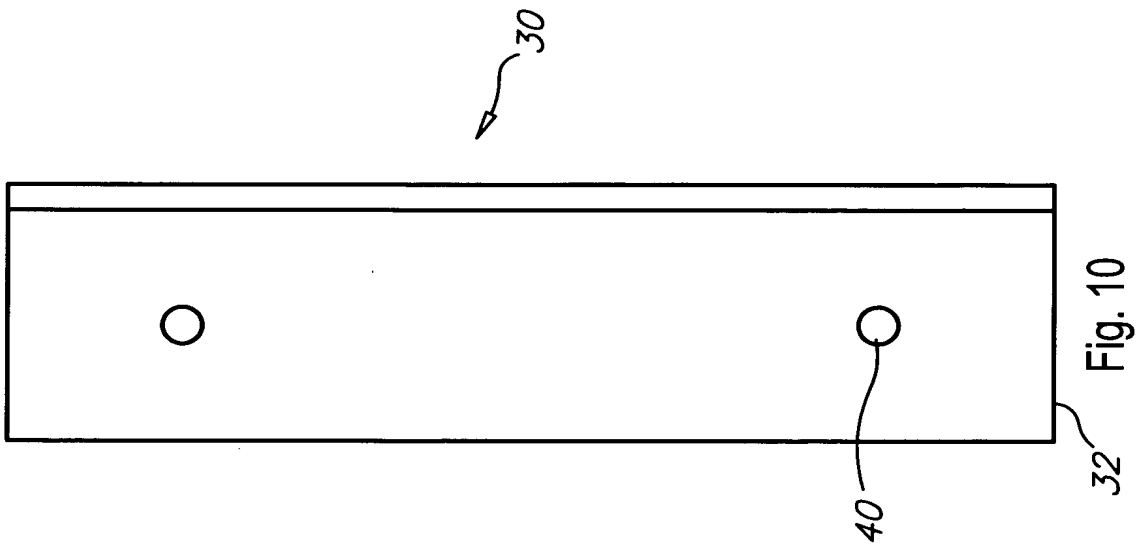
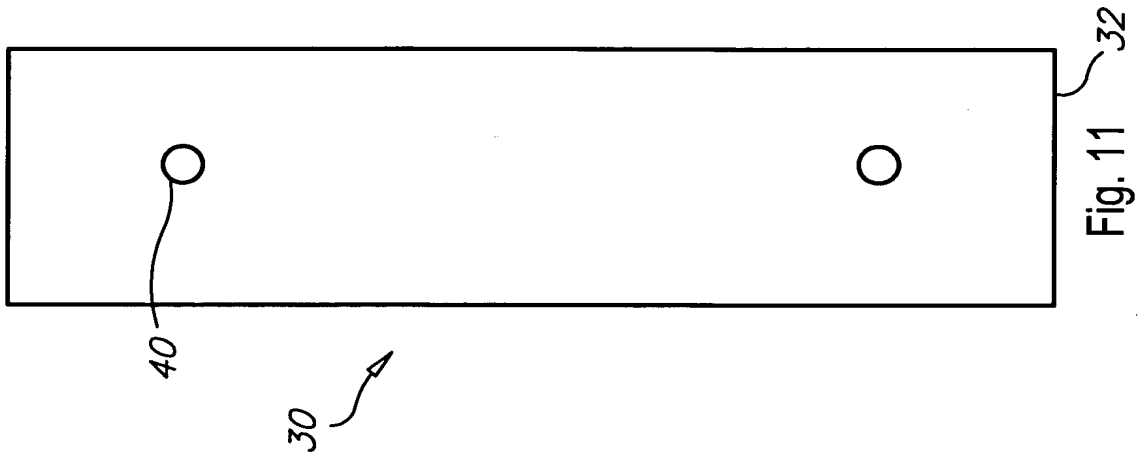


Fig. 4





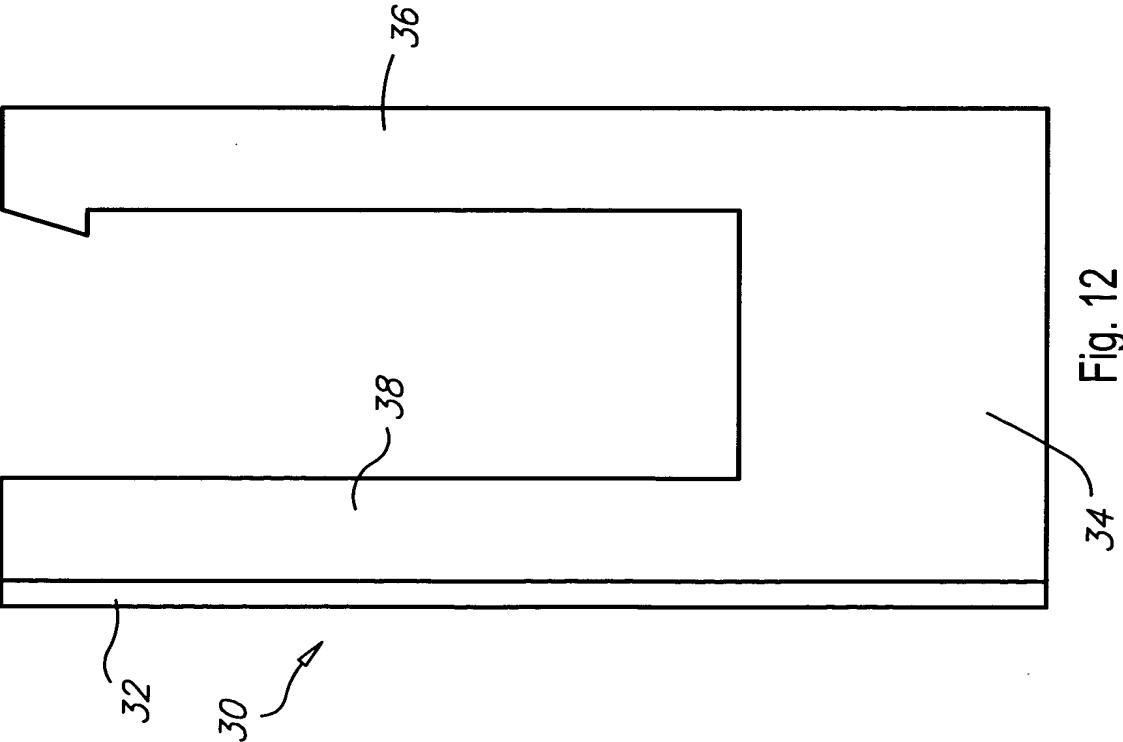
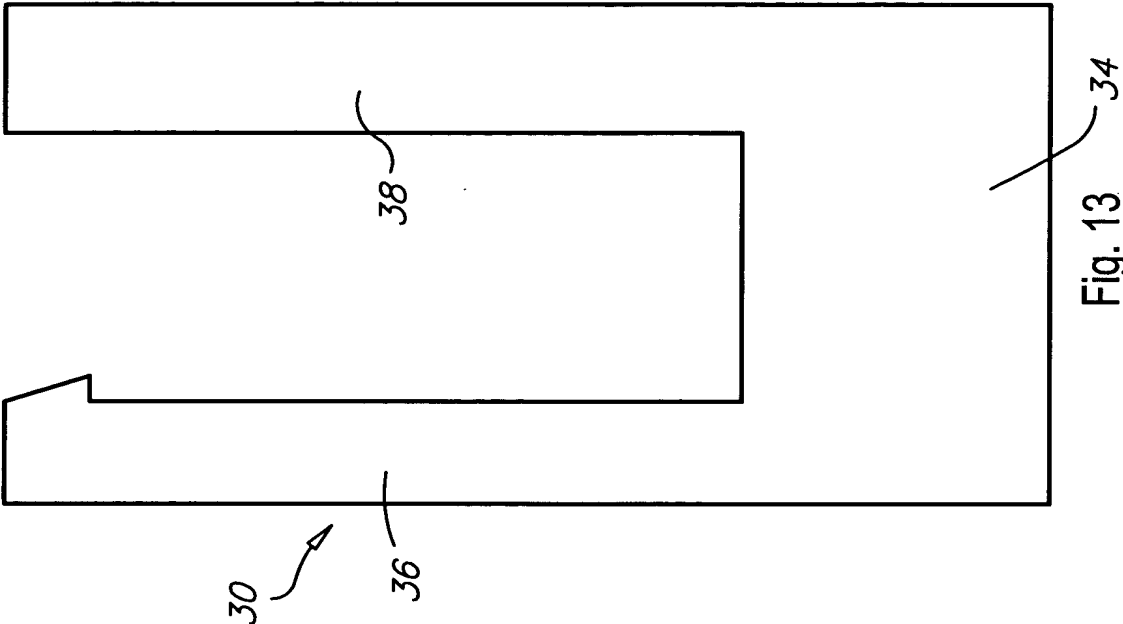
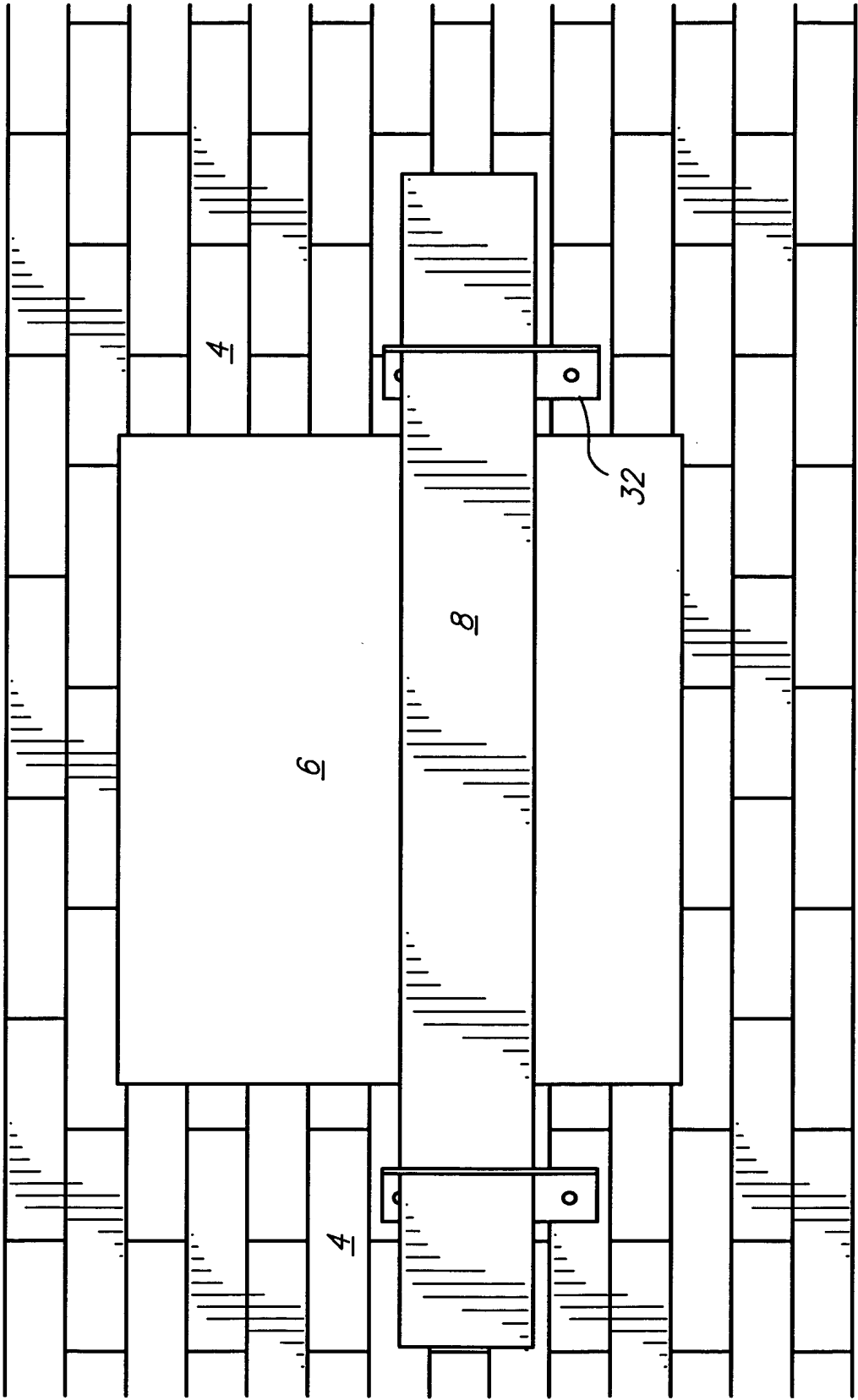


Fig. 14



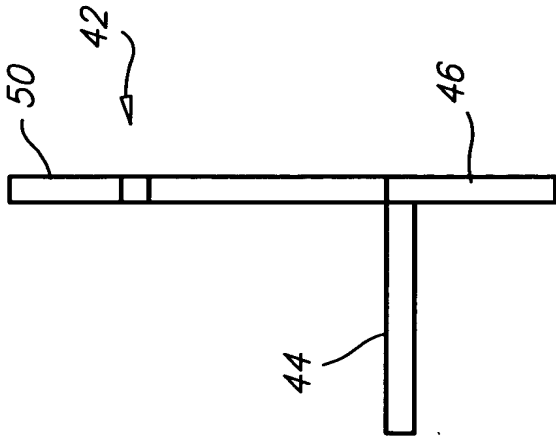


Fig. 16

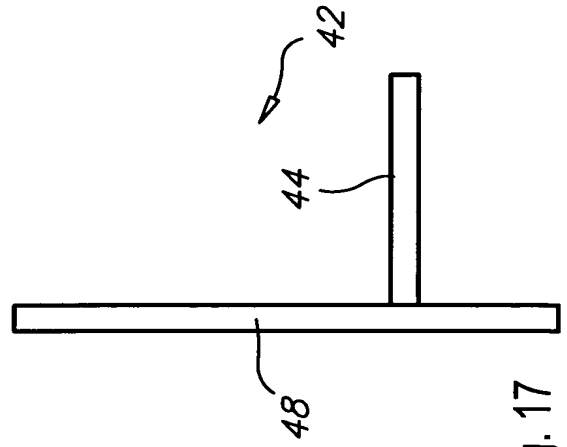


Fig. 17

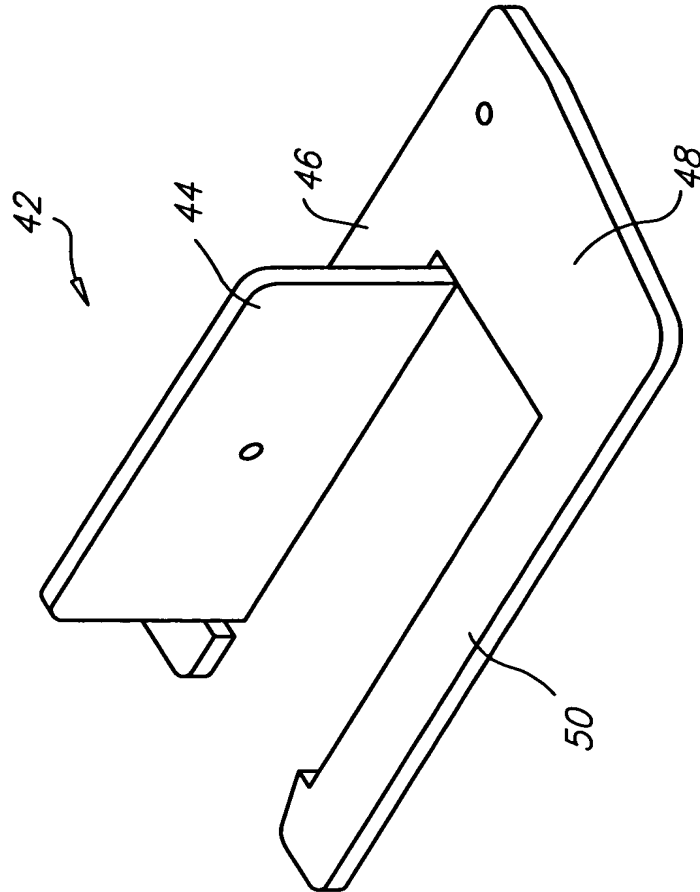


Fig. 15



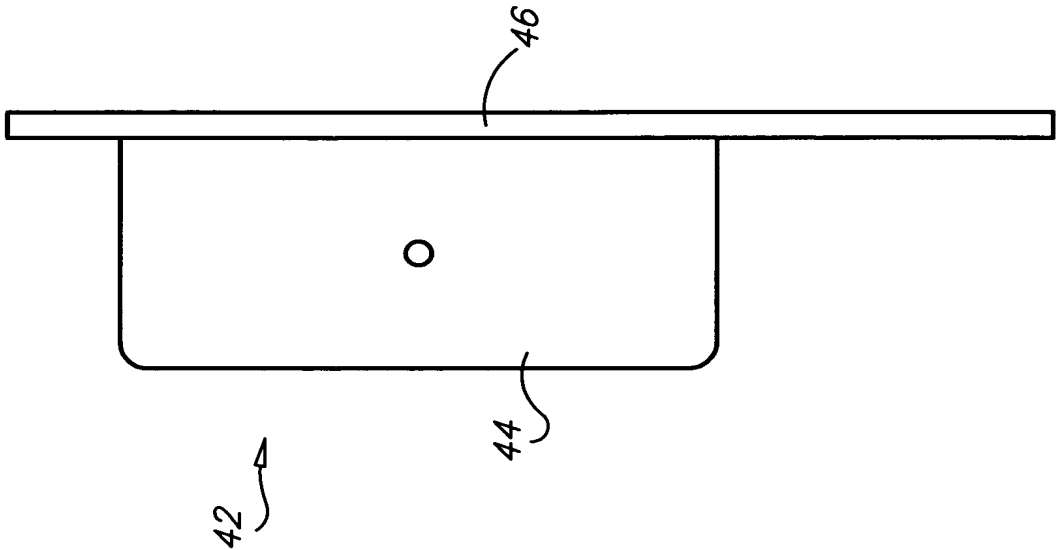


Fig. 18

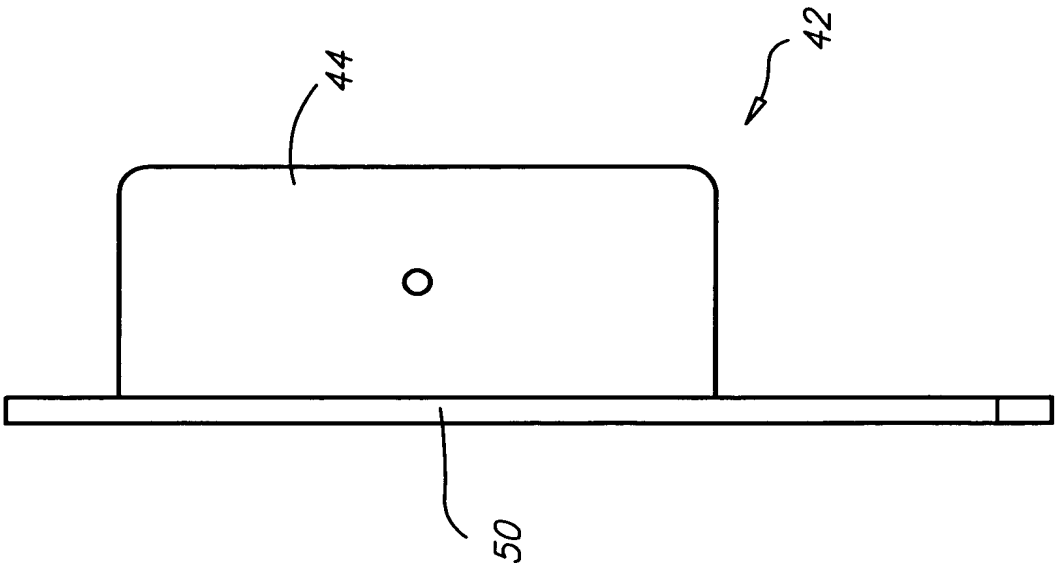


Fig. 19

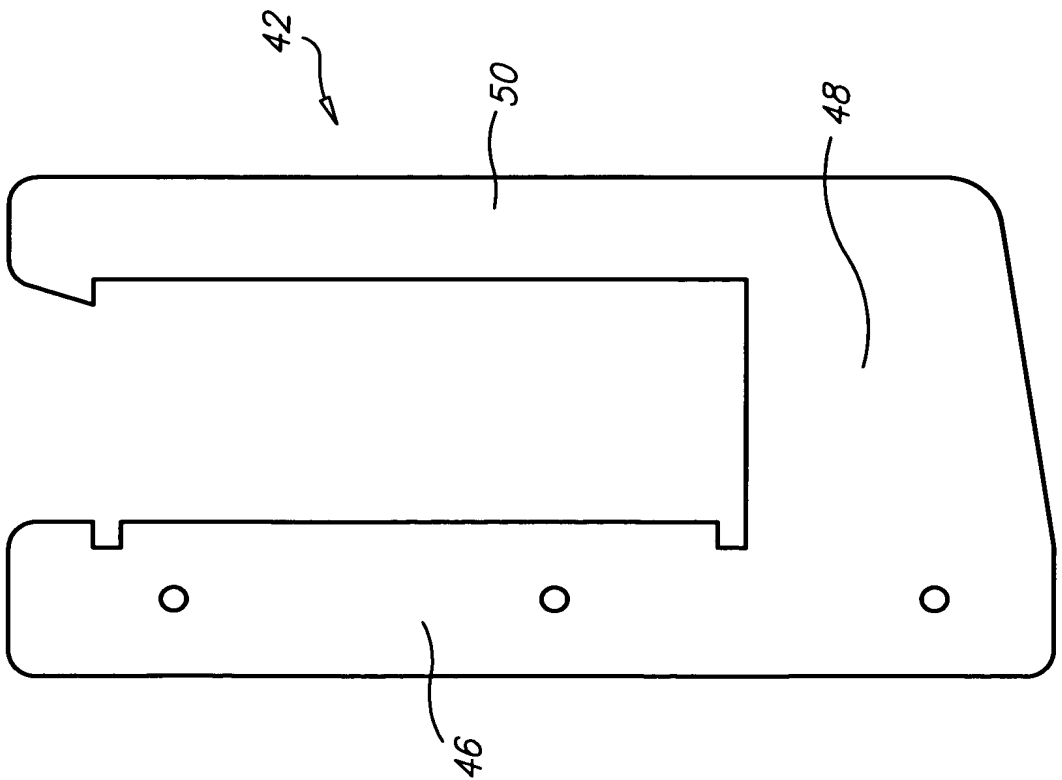
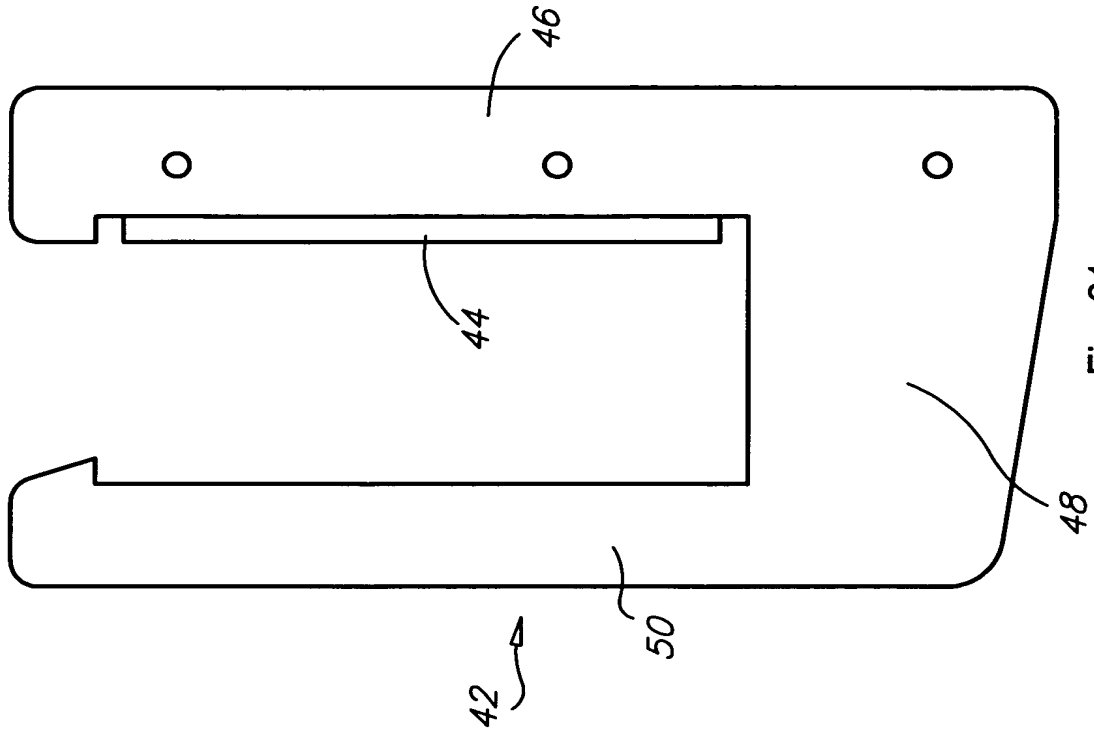
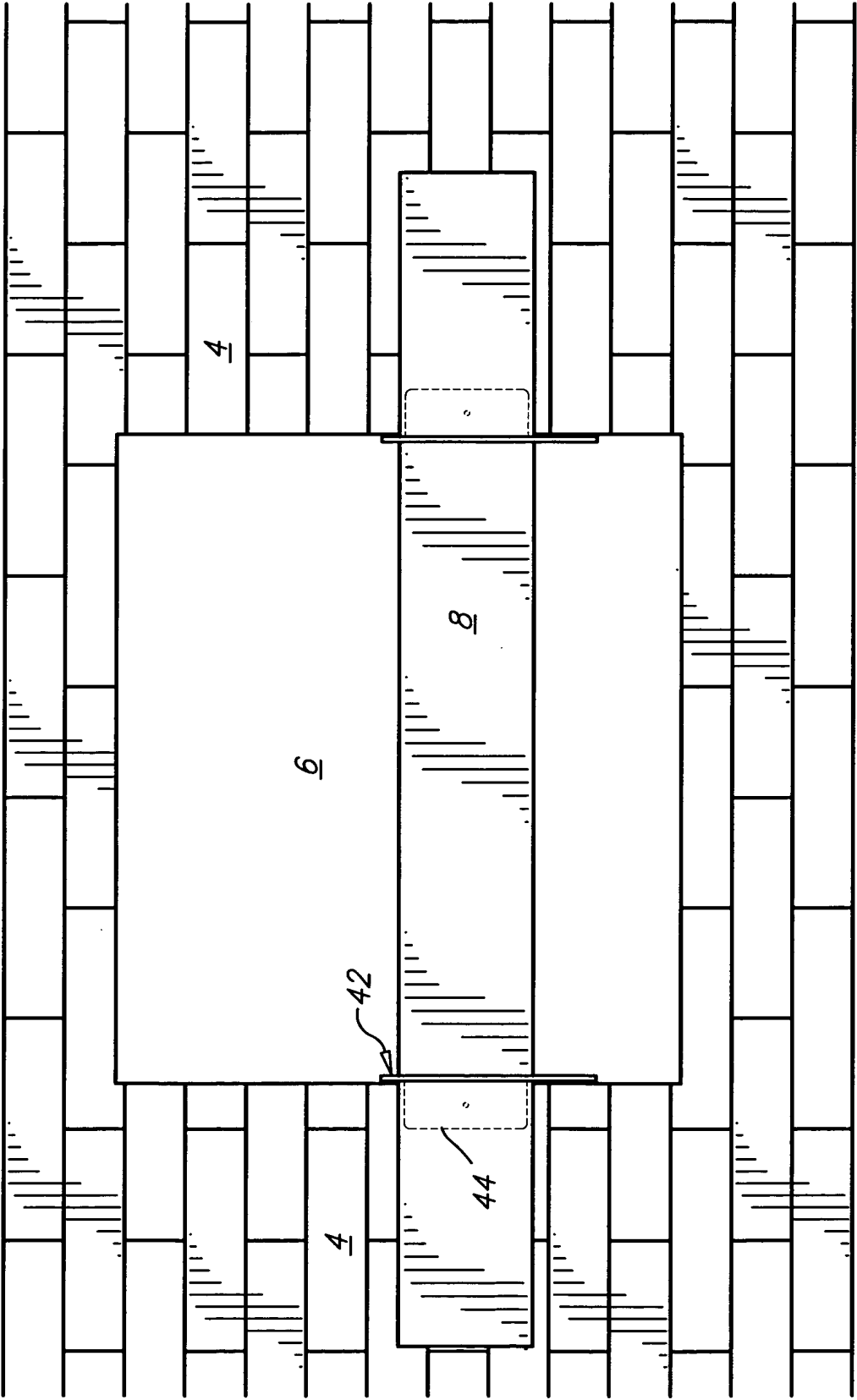


Fig. 22



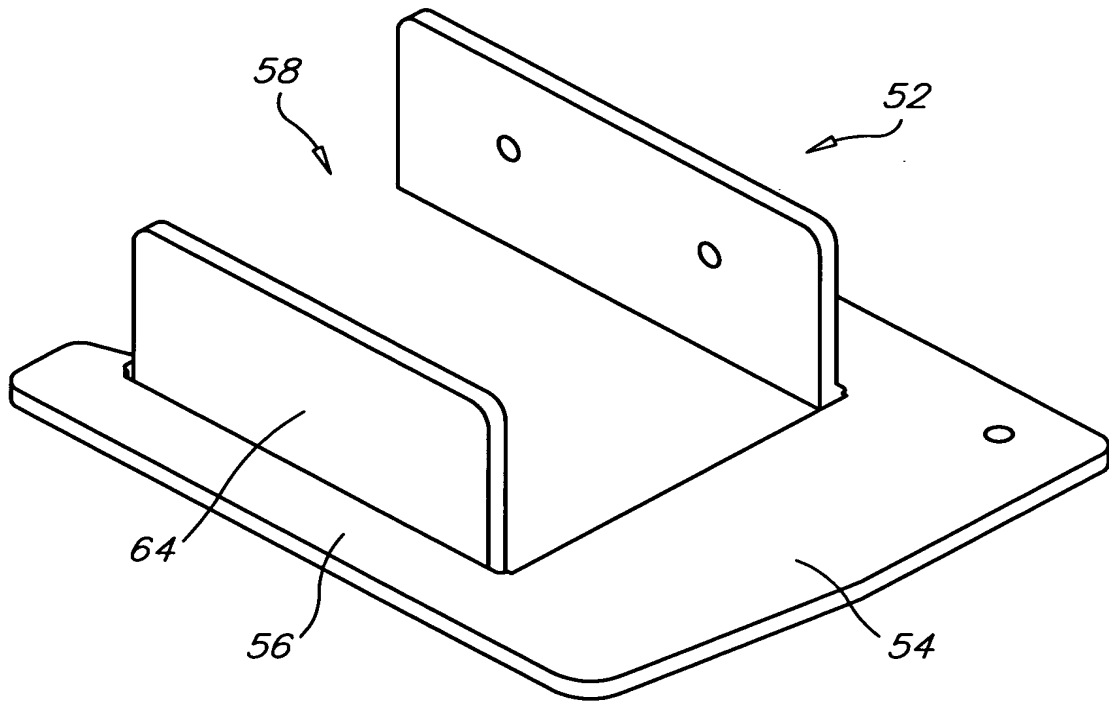


Fig. 23

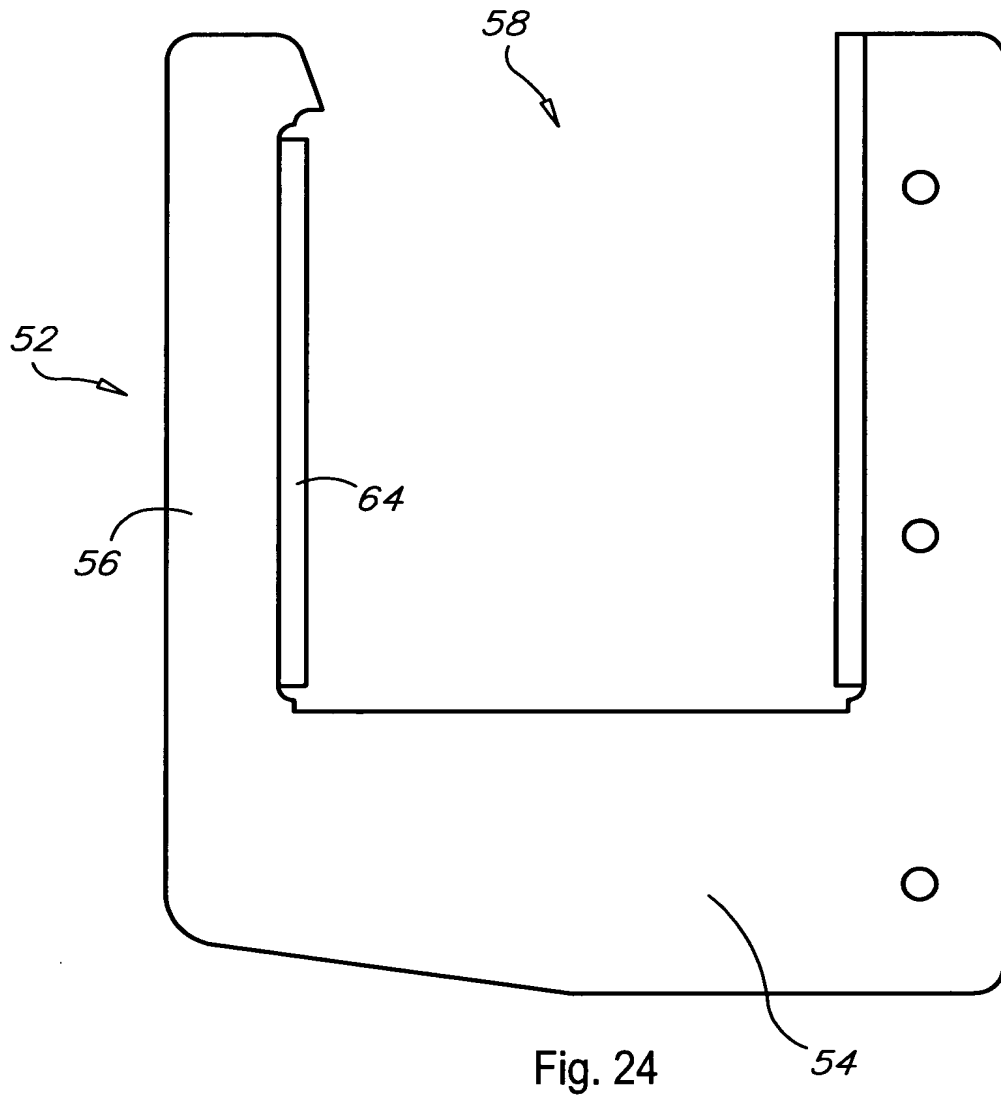


Fig. 24

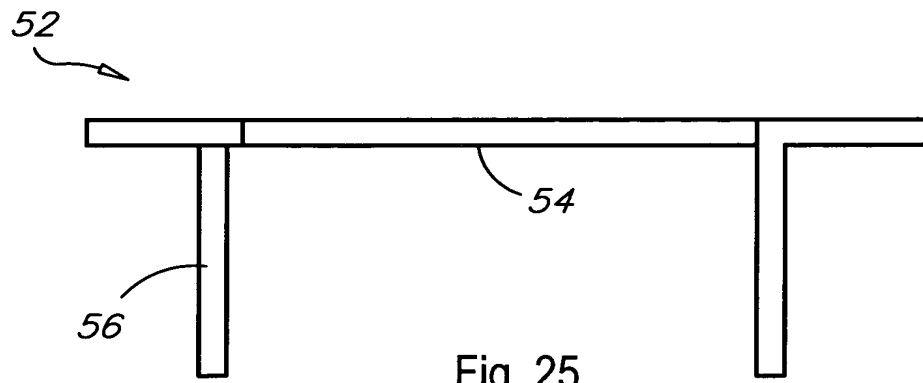
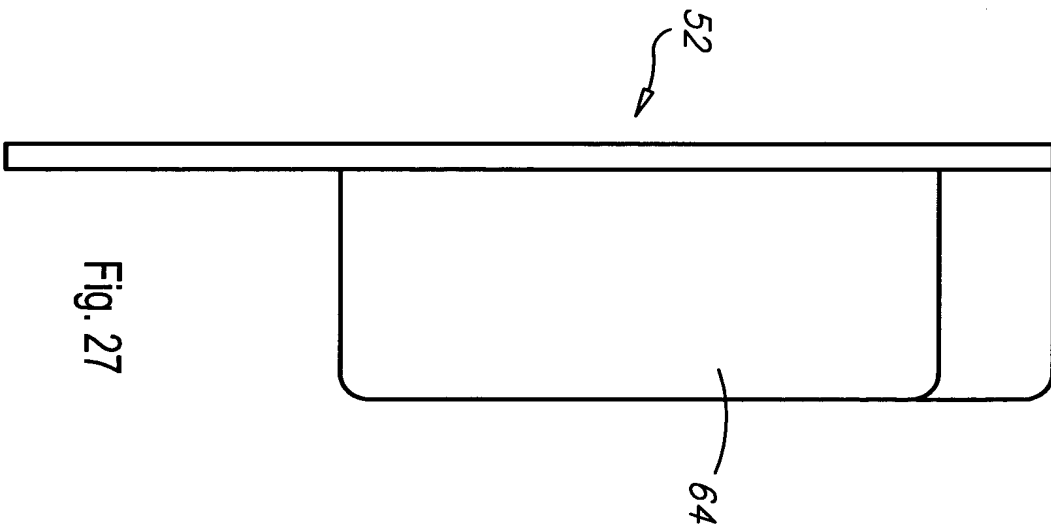
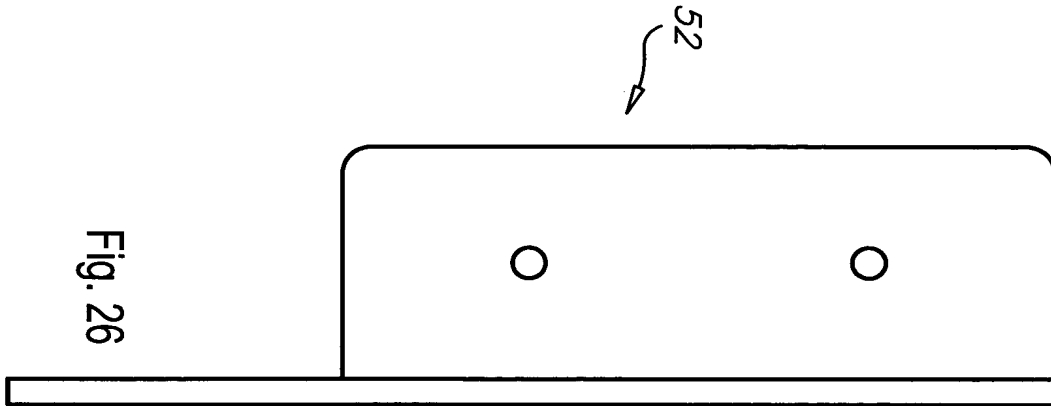


Fig. 25



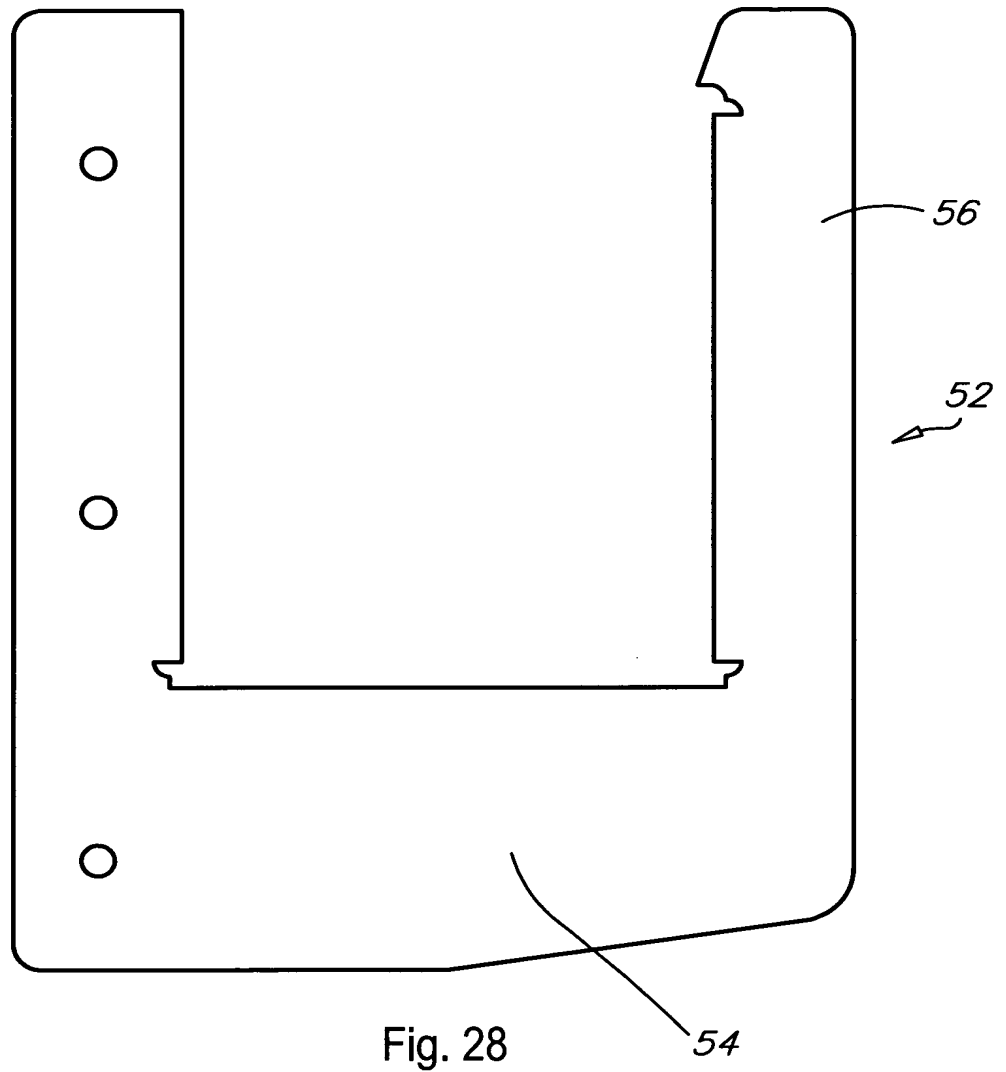


Fig. 29

